

تأثیر یون پرمنگنات بر مقاومت به خوردگی پوشش آندایز شده بر روی

آلیاژ آلومینیوم ۲۰۲۴-T۳

علی یزدانی

دانشگاه صنعتی مالک اشتر

محمد ابراهیم بحرالعلوم

بخش مواد، دانشکده مهندسی، دانشگاه شیراز

(دریافت مقاله: ۹۰/۰۲/۲۰ - پذیرش مقاله: ۹۰/۰۵/۳۰)

چکیده

در این پژوهش، تأثیر پرمنگنات پتاسیم، به عنوان یکی از بازدارنده‌های خوردگی، در غلظت‌های مختلف بر مورفولوژی، ضخامت، ترکیب و رفتار خوردگی پوشش آندایز ایجاد شده در محلول اسید سولفوریک ۱۷ درصد بر روی آلیاژ آلومینیوم ۲۰۲۴-T۳ مورد بررسی قرار گرفته است. مورفولوژی و ترکیب شیمیایی پوشش اکسیدی آندایز به ترتیب توسط میکروسکوپ الکترونی رویشی (FESEM) و آنالیز عنصری EDX مورد مطالعه قرار گرفته و از آزمون‌های پلاریزاسیون و طیف سنجی امپدنس الکتروشیمیایی (EIS) به منظور بررسی رفتار خوردگی آلومینیوم‌های پوشش داده شده استفاده شده است. نتایج این تحقیق نشان می‌دهد که افزودن پرمنگنات پتاسیم به الکتروولیت آندایز منجر به ایجاد پوشش آندایز ضخیم‌تر، متراکم‌تر و با اندازه حفرات کوچک‌تر می‌شود. هم چنین بررسی‌های خوردگی نشان می‌دهد که استفاده از یون پرمنگنات، افزایش مقاومت به خوردگی پوشش آندایز را به همراه خواهد داشت. افزایش غلظت پرمنگنات در محلول آندایز، پوششی با مقاومت به خوردگی بالاتر را ایجاد می‌کند، بنحوی که میزان بهبود رفتار خوردگی پوشش در غلظت‌های ۰/۰۱ و ۰/۱ مولار به ترتیب ۲۵٪ و ۸۵٪ است.

واژه‌های کلیدی: لایه آندایز، آلیاژ آلومینیوم ۲۰۲۴، پرمنگنات، بازدارنده خوردگی، امپدنس الکتروشیمیایی.

Effect of potassium permanganate on corrosion performance of the anodized coating on 2024-T3 aluminum alloy

A. Yazdani

Malek-e-Ashtar University of Technology

M. E. Bahrololoom

Department of Engineering, University of Shiraz

(Received 10 May 2011, accepted 21 August 2011)

Abstract

Effects of different concentrations of potassium permanganate, as a corrosion inhibitor, on morphology, composition, thickness and corrosion behavior of anodic film of 2024-T3 aluminum alloy formed in 17% sulfuric acid were investigated. Surface morphology and chemical composition of oxide film were studied using field emission scanning electron microscopy (FESEM) and energy-dispersive X-ray spectroscopy (EDX), respectively. Potentiodynamic polarization tests and electrochemical impedance spectroscopy (EIS) were conducted to assess the corrosion performance of the coatings. These analyses have shown that presence and addition of potassium permanganate during anodizing process results in more compact and thicker anodic film with smaller pore size. In addition Corrosion results have shown that using permanganate ions increased corrosion resistance of the anodic layer, increasing the potassium permanganate in anodize solution, would caused a coating with higher corrosion resistance. The quantity of the corrosion improvement was about 25% and 85% for 0.01 and 0.1M, respectively.

Keywords: Anodic Film, Al 2024 Alloy, Permanganate, Corrosion Inhibitor, EIS.

www.SID.ir

E-mail of corresponding author: aliyazdani165@yahoo.com

مقدمه

آندايز از بهترین انتخاب ها به منظور جایگزینی پوشش کروماته برای بهبود رفتار خوردگی آلیاژهای آلومینیوم در صنایع هوایی است. پوشش آندایز یک پوشش سرامیکی آلومینا (Al_2O_3) است که به کمک پلاریزاسیون آندی سطح آلومینیوم در محلولهای اسیدی مختلف ایجاد شده که بسته به نوع فرآیند آندایز، مقاومت به خوردگی آلومینیوم را به مقدار قابل توجهی افزایش می‌دهد. خواص خوردگی پوشش های آندایز را می‌توان به روش های مختلفی مانند استفاده از نانو ذرات TiO_2 و بازدارنده های معدنی ارتقاء بخشید [۱۲-۱۷]. ترکیبات کرومات، مولبیدات، پرمنگنات و فسفات از جمله این بازدارنده ها هستند. تحقیقات موتارلیر^۲ و همکاران [۱۴و۱۷] نشان داد که حضور بازدارنده های مولبیدات و پرمنگنات در حین عملیات آندایزینگ مقاومت به خوردگی پوشش آندایز را افزایش می‌دهد و این افزایش مقاومت به خوردگی برای پرمنگنات بیشتر از مولبیدات بود. بنابراین بررسی تأثیر این ممانعت کننده در غلظت های مختلف به منظور بهبود مقاومت به خوردگی پوشش آندایز ایجاد شده بر روی آلیاژهای آلومینیوم هوایی و انتخاب جایگزینی مناسبی برای پوشش کروماته بسیار حائز اهمیت است.

در این پژوهش تأثیر حضور بازدارنده پرمنگنات پتابیم در محلول آندایزینگ در غلظت های مختلف بر مورفولوژی، ضخامت، ترکیب و خواص خوردگی پوشش آندایز بر روی آلیاژ آلومینیوم ۲۰۲۴ مورد بررسی قرار گرفته است.

مواد و روش آزمایش ها

نمونه های آلیاژ آلومینیوم ۲۰۲۴ با ابعاد $50*20*20\text{ mm}^3$ بوسیله چربی زدایی در استن، غوطه وری در محلول آبی ۵ درصد وزنی هیدرکسید سدیم (NaOH) به مدت ۵ دقیقه و غوطه وری در محلول ۳۰ درصد حجمی اسید نیتریک به مدت ۲ دقیقه آماده سازی شدند. پس از هر مرحله، عملیات شستشو با آب مقطمر و خشک کردن توسط دمşن هوا بر روی نمونه ها انجام می گرفت. عملیات آندایز در یک پیل سه

آلیاژهای آلومینیوم ۲۰۲۴ و ۷۰۷۵، بدليل نسبت استحکام به وزن بالا، از جمله مهمترین آلیاژهای مورد استفاده در صنایع هوافضا هستند [۲۱]. فازهای ثانویه غنی از مس در این آلیاژها، که عامل خواص مکانیکی بسیار خوب هستند، از دیدگاه خوردگی نامطلوبند [۳و۴]. روش های بسیار به منظور بهبود رفتار خوردگی این آلیاژها بویژه در استفاده آنها در ساخت هوایپیماهای آب نشین مورد بحث و بررسی قرار گرفته اند. در میان تمامی روش ها، اعمال برخی پوشش های سطحی مؤثر ترین روش بهبود مقاومت به خوردگی این آلیاژها، بویژه آلیاژ ۲۰۲۴ است. تحقیقات پیشین در این زمینه به خوبی نشان داده است، پوشش های کروماته رفتار خوردگی آلومینیوم را به شدت ارتقاء می بخشد و از آنجا که پوشش های کرومات به صورت غوطه وری بر روی سطح اعمال می شوند و زمان عملیات نیز پایین است، از نظر اقتصادی مقرن به صرفه است. همین ویژگی ها باعث شده است تا این پوشش، سال ها به عنوان پوشش سطوح آلومینیومی در صنایع هوایی مورد استفاده قرار گیرد. هر چند بدليل خاصیت سمی بودن و سرطان زایی این پوشش ها، استفاده از آن ها به شدت محدود شده است. بر طبق سیاست های حاکم بر صنایع که به منظور کاهش مضرات کروم اتخاذ شده است، مصرف این مواد که در گروه دوم مواد سمی و خطربناک مرکز سیستم های هوانوردی^۱ (ASC) قرار دارند می باشد با کاهش همراه بوده و به تدریج از چرخه صنعت کنار گذاشته شود. با این تفاسیر، پوشش کروماته می باشد از صنایع و بویژه صنایع هوا-فضا حذف شود و این امر نیازمند یافتن پوششی محافظت با عملکری بسیار خوب برای جانشین کردن کروماته است [۳،۵و۶].

پوشش های زیادی نظیر پوشش های تبدیلی سریم، فسفاته و آندایز [۲، ۷، ۸]، پوشش های پلیمری [۹، ۱۰] و پوشش های کامپوزیتی [۱۱] به منظور یافتن جایگزینی مناسب برای پوشش های کروماته مورد بررسی قرار گرفته است. پوشش

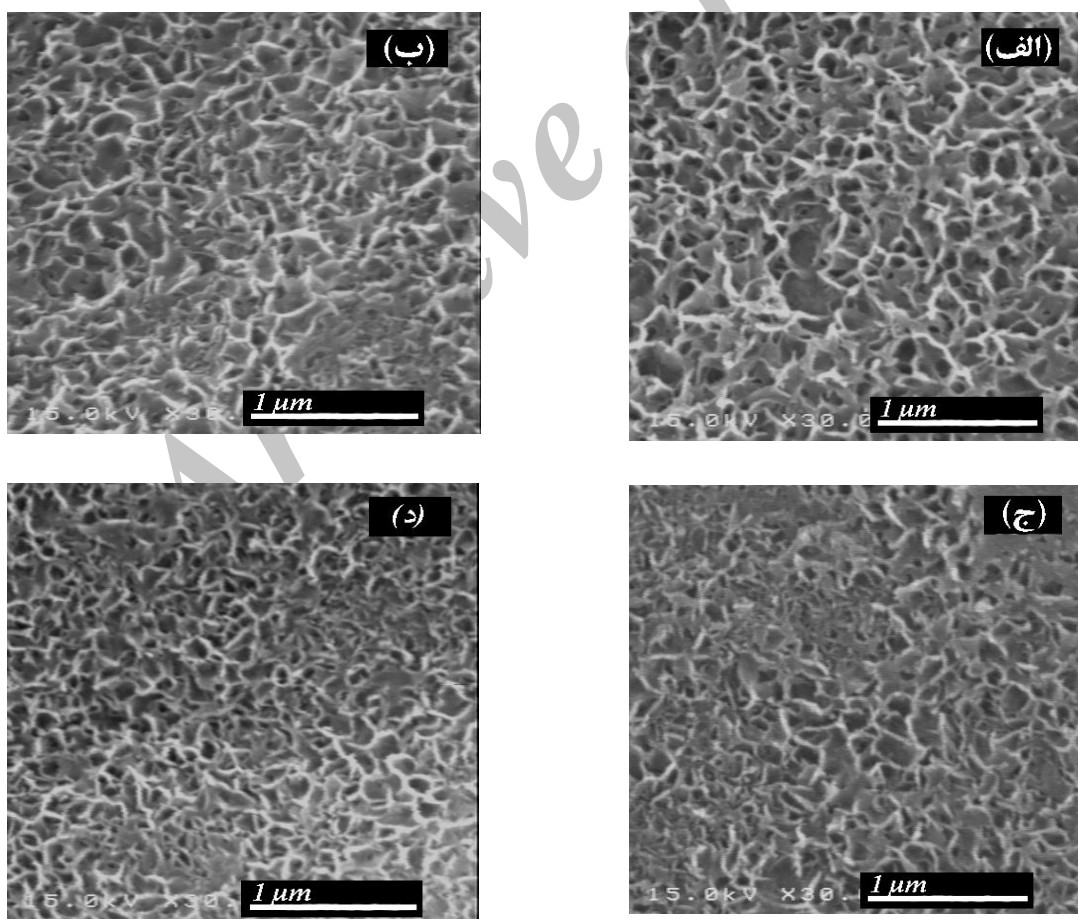
^۲ - Moutarlier

^۱ - Aeronautical Systems Center

پیش از بررسی مورفولوژی به کمک یک لایه بسیار نازک طلا پوشش داده شده اند. رفتار خوردگی نمونه های مختلف توسط روش پلاریزاسیون و طیف سنجی امپدانس الکتروشیمیایی (EIS) با استفاده از دستگاه μ autolab type III ساخت هلتند، بررسی شد. آزمون پلاریزاسیون در محلول نمکی $3/5$ درصد وزنی کلرید سدیم در دمای محیط و به کمک پیل سه الکترودی استاندارد شامل الکترود مرجع Ag/AgCl (reference electrode) و الکترود کمکی پلاتینی (counter electrode) انجام شد. این آزمون در محلوده روش پتانسیل $0/25$ -تا $0/75$ ولت نسبت به پتانسیل مدار باز (OCP) و با سرعت روبش 1 mV/s انجام گرفت. هم چنین پتانسیل و چگالی جریان خوردگی نمونه ها با روش تافل محاسبه شد.

الکترودی حاوی محلول 17 درصد وزنی اسید سولفوریک و غلظت مشخص بازدارنده، تحت پتانسیل ثابت 20 ولت در دمای محیط و به مدت 30 دقیقه انجام گرفت. از تلاطم مغناطیسی با سرعت 100 rpm در طول فرآیند آندایز و به منظور جلوگیری از افزایش دمای موضعی محلول استفاده شد. غلظت های اضافه شده پرمنگنات پتانسیم به محلول اسید سولفوریک برابر با $0/01$, $0/05$, $0/1$ و $0/25$ مولار انتخاب شدند.

ضخامت پوشش های ایجاد شده توسط دستگاه ضخامت سنج دیجیتالی و مورفولوژی آن به کمک میکروسکوپ الکترونی روبشی (FESEM)، مدل S4160 ساخت کمپانی هیتاچی ژاپن، مورد بررسی قرار گرفت. از آنجا که پوشش های آندایز هدایت الکتریکی بسیار کمی دارد، سطح نمونه های آندایز شده



شکل ۱. مورفولوژی پوشش های آندایز ایجاد شده در غلظت های مختلف پرمنگنات پتانسیم، (الف): 0 مولار، (ب): $0/05$ مولار، (ج): $0/1$ مولار، (د): $0/25$ مولار.

را تغییر نمی‌دهد، بلکه تنها اندازه حفرات پوشش را تحت تأثیر قرار می‌دهد. مقایسه تصاویر مورفولوژی پوشش‌های مختلف نشان می‌دهد که افزایش غلظت پرمنگنات پتانسیم به محلول آندایز موجب کوچک شدن قطر حفرات موجود در پوشش پیش از عملیات سیل کردن می‌شود. به بیان دیگر افزودن غلظت پرمنگنات پتانسیم موجب تشکیل پوششی با فشردگی و چگالی بیشتر می‌شود.

از آنجا که عملیات سیل کردن در حقیقت به معنی ترکیب اکسید آلومینیوم با مولکول‌های آب و تبدیل آن به $Al_2O_3 \cdot H_2O$ و بسته شدن دهانه حفرات در اثر افزایش حجم ناشی از این واکنش است، می‌توان بیان نمود که راندمان عملیات آب بندی پوشش‌های آندایز با افزایش غلظت پرمنگنات پتانسیم افزایش می‌یابد.

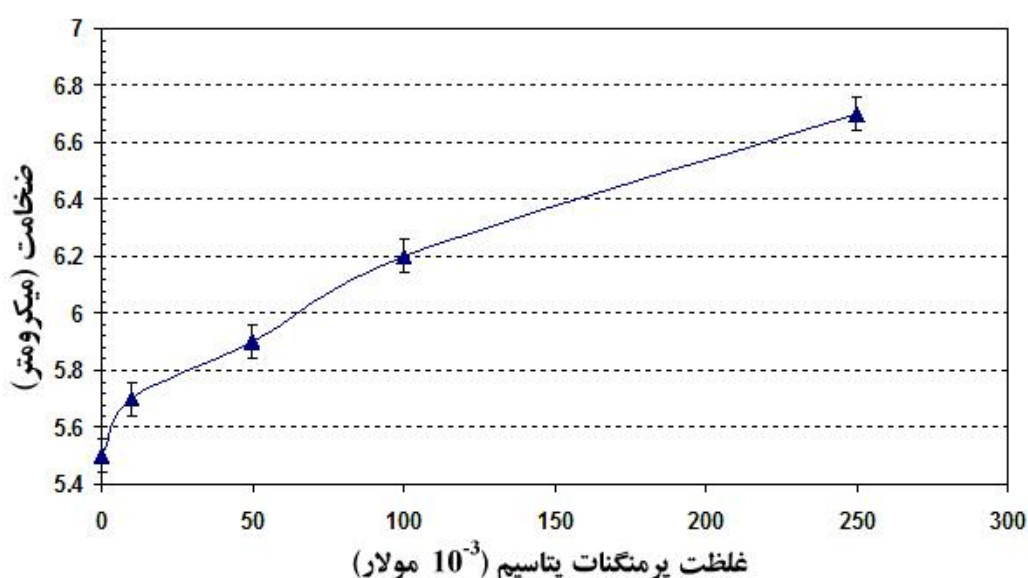
شکل ۲ نشان دهنده تغییرات ضخامت پوشش آندایز با غلظت پرمنگنات پتانسیم در محلول آندایز است. با توجه به این شکل، ضخامت پوشش آندایز با افزایش غلظت پرمنگنات پتانسیم افزایش می‌یابد، بگونه‌ای که افزودن 0.25 مولار پرمنگنات پتانسیم به محلول آندایز ضخامت این پوشش را از $5/5 \text{ میکرومتر}$ به $6/7 \text{ میکرومتر}$ افزایش می‌دهد. از آنجا که پرمنگنات از جمله مواد اکسید کننده نسبتاً قوی است، می‌تواند

آزمون امپدانس الکتروشیمیایی نیز در محلول مشابه و در محدوده فرکانس $100 \text{ kHz}-100 \text{ mHz}$ بر روی نمونه‌های پوشش داده شده انجام گرفت. برای مدل سازی نتایج حاصل از طیف سنجی امپدانس الکتروشیمیایی از نرم افزار ZView2 استفاده شد. پیش از انجام آزمون‌های الکتروشیمیایی و بررسی رفتار خوردگی نمونه‌های آندایز شده، عملیات آب بندی با قرار دادن پوشش‌های آندایز در آب جوش به مدت ۳۰ دقیقه انجام گرفت تا حفرات این پوشش‌ها بسته شده و از نفوذ محلول خورنده به درون حفرات جلوگیری به عمل آید.

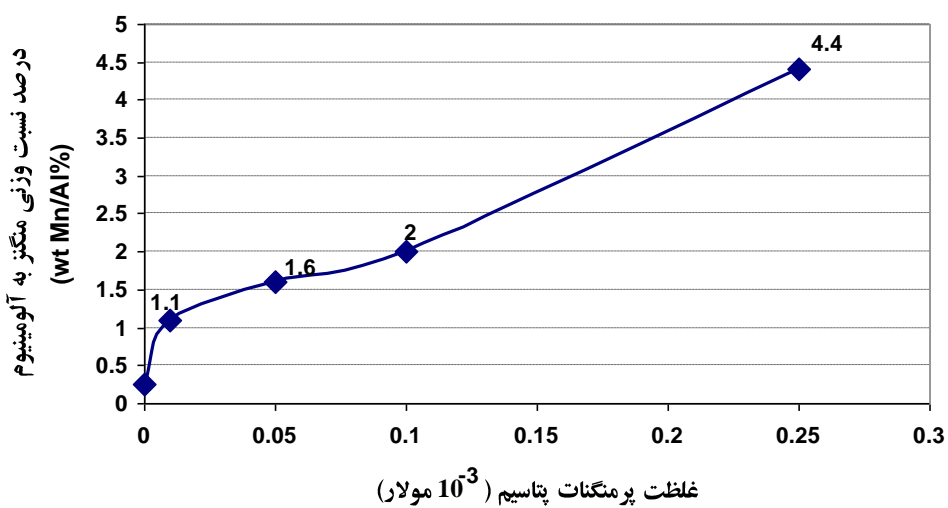
نتایج و بحث

مورفولوژی و ضخامت

تصویر SEM از سطح پوشش‌های ایجاد شده در حضور غلظت‌های مختلف 0.05 ، 0.1 و 0.25 مولار پرمنگنات پتانسیم در شکل ۱ نشان داده شده است. مورفولوژی پوشش ایجاد شده در اسید سولفوریک بدون حضور پرمنگنات پتانسیم (شکل ۱-الف) نشان دهنده مدل کلاسیک شش وجهی لانه زنبوری است [۱۷]. شکل ۱ نشان می‌دهد که افزودن پرمنگنات پتانسیم به الکتروولیت آندایزینگ شکل کلی مورفولوژی پوشش



شکل ۲. روند تغییر ضخامت پوشش آندایز با غلظت پرمنگنات پتانسیم در محلول آندایز.



شکل ۳. روند تغییرات درصد نسبت منگنز به آلومینیوم در پوشش با افزایش غلظت پرمنگنات پتاسیم در محلول آندایز.

رفتار خوردگی

منحنی های پلاریزاسیون بدست آمده از پوشش های آندایز مختلف ایجاد شده در غلظت های مختلف پرمنگنات پتاسیم در محلول آندایز در شکل ۴ نشان داده شده است. نتایج بدست آمده از منحنی های پلاریزاسیون شامل پتانسیل و چگالی جریان خوردگی و درصد کاهش چگالی جریان خوردگی در اثر حضور بازدارنده پرمنگنات پتاسیم در جدول ۱ آورده شده است. درصد کاهش چگالی جریان خوردگی از رابطه (۱) بدست می آید که در آن i_{corr}^o چگالی جریان پوشش آندایز بدست آمده از محلول اسید سولفوریک بدون حضور بازدارنده پرمنگنات پتاسیم بوده و i_{corr} چگالی جریان پوشش آندایز بدست آمده در حضور این بازدارنده است.

$$(1) P(\%) = 100(1 - \frac{i_{corr}}{i_{corr}^o})$$

منحنی های نایکوئیست^۱ و بد^۲ پوشش های بدست آمده در غلظت های مختلف پرمنگنات پتاسیم نیز به ترتیب در شکل های ۵ و ۶ آورده شده است. مدار معادل شکل ۷ برای مدل کردن نتایج EIS و بدست آوردن پارامترهای مختلف خوردگی آنها استفاده گردید که در آن R_{C} مقاومت محلول، R_C مقاومت لایه آندایز و CPE عنصر فاز ثابت بوده که به منظور تشریح یکنواختی و توزیع خواص فیزیکی سیستم مورد بررسی قرار می گیرد. عنصر فاز ثابت (CPE) برای

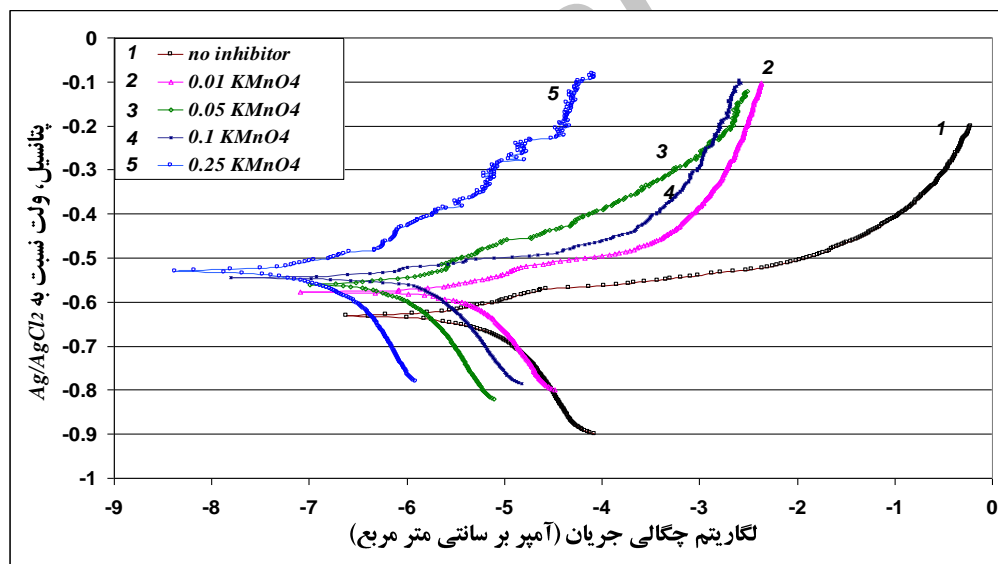
بر روند اکسیداسیون سطح آلومینیوم در حین فرآیند آندایزینگ تأثیر گذاشته و با افزایش قدرت اکسید کنندگی محلول، سرعت تشکیل پوشش را افزایش داده و منجر به ایجاد پوششی با ضخامت بالاتر شود [۱۴]. بنابراین افزایش ضخامت پوشش با افزایش غلظت یون پرمنگنات در محلول را می توان ناشی از قدرت اکسید کنندگی پرمنگنات دانست. ترکیب شیمیایی پوشش های آندایز با استفاده از آنالیز تفکیک انرژی اشعه ایکس (EDX) بررسی شد. شکل ۳ روند تغییرات نسبت درصد وزنی منگنز به آلومینیوم (wt % Mn/Al) در پوشش آندایز با تغییر در غلظت پرمنگنات پتاسیم را نشان می دهد. همان طور که مشاهده می شود مقدار منگنز در پوشش با افزایش غلظت پرمنگنات پتاسیم در محلول اسید سولفوریک افزایش می یابد. دلیل این تغییر در ترکیب پوشش آندایز را می توان در احتمال بیشتر قرار گرفتن ترکیبات منگنز دار در غلظت های بالاتر یون MnO_4^- در محلول آندایز جستجو نمود [۱۷]. شکل ۳ نشان می دهد که در پوشش آندایز ایجاد شده در محلول اسید سولفوریک بدون پرمنگنات پتاسیم نیز شاهد حضور منگنز می باشیم. منگنز موجود در این پوشش، ناشی از منگنز موجود در آلومینیوم است و از آنجا که پوشش آندایز به عنوان یک پوشش تبدیلی شناخته می شود این عنصر از آلومینیوم زیرلایه به پوشش منتقل شده و به کمک آنالیز EDX قابل تشخیص است.

¹ - Nyquist

² -Bode

می‌شود. نتایج نشان می‌دهد که حضور ۰/۰۵ مولار پرمنگنات در محلول آندایز دانسیته جریان خوردگی را از mA/dm^2 ۰/۲۲۳ به $0/0411 mA/dm^2$ کاهش داده است. این در حالی است که با پنج برابر کردن مقدار پرمنگنات پتانسیم در محلول آندایز (۰/۲۵ مولار) دانسیته جریان خوردگی پوشش حاصله آندایز از ۱۵ برابر کاهش یافته و به مقدار ۰/۰۰۲۶۴ می‌رسد که بیش از ۹۹٪ بهبود مقاومت به خوردگی در مقایسه با بیانگر حدود ایجاد شده در عدم حضور ممانعت کننده در محلول آندایز است. علاوه بر این، افزایش غلظت پرمنگنات منجر افزایش پتانسیل خوردگی پوشش آندایز شده که خود شاهدی بر عملکرد مثبت ممانعت کننده پرمنگنات پتانسیم در افزایش مقاومت به خوردگی پوشش‌های آندایز است [۱۸].

جايكزيني ظرفيت خازني مدار استفاده شده و ميزان انحراف آن را از حالت ايده آل بيان مي دارد. در مدل كردن نتایج، دو تابع برای CPE تعين می شود که عبارتند از T که ماهیت ظرفیتی آن را نشان می دهد و $CPE-P$ که بيانگر ميزان انحراف آن از حالت ايده آل است [۱۹]. نتایج خوردگی بدست آمده از منحنی های نایکوئست در جدول ۲ گزارش شده است. مقاومت الکتریکی محلول خورنده در آزمون (R_S) تقریباً در تمامی نتایج يکسان و در حدود $15 \Omega cm^2$ بوده است. بنابراین این پارامتر از جدول ۲ حذف شده است. با توجه به منحنی های پلاریزاسیون نشان داده شده در شکل ۴ و نتایج حاصله از آن در جدول ۱، حضور پرمنگنات در حين فرآیند آندایز منجر به کاهش قابل توجه دانسیته جریان خوردگی و افزایش مقاومت به خوردگی پوشش آندایز



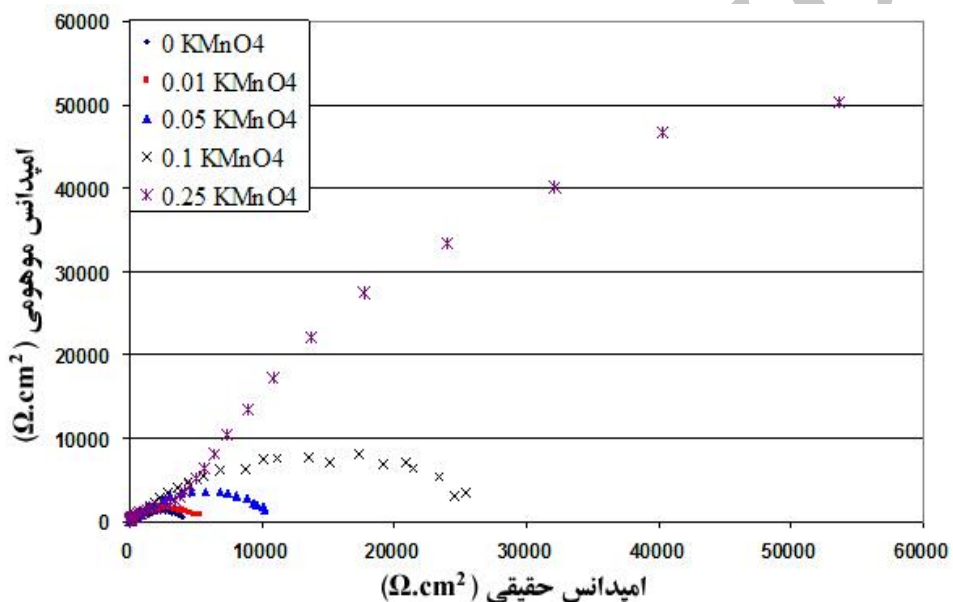
شکل ۴. منحنی های پلاریزاسیون پوشش های آندایز ایجاد شده در غلظت های مختلف پرمنگنات پتانسیم.

جدول ۱. پارامترهای خوردگی بدست آمده از منحنی های پلاریزاسیون برای پوشش های آندایز ایجاد شده در غلظت های مختلف پرمنگنات پتانسیم.

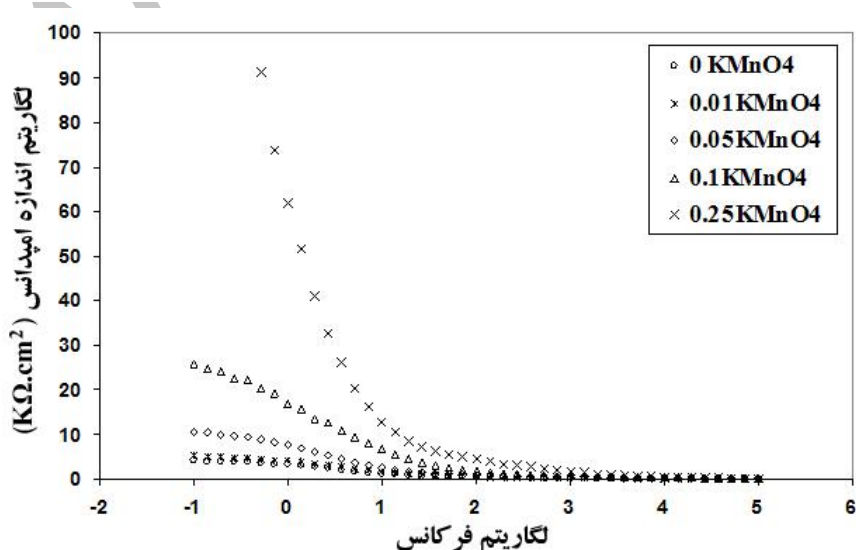
KMnO ₄ Concentration	$E_{corr.}$ (mV)	$i_{corr.}$ (mA/dm^2)	%P
۰ M	-۰/۶۳۳	۰/۲۲۳	
۰/۰۱ M	-۰/۵۸۷	۰/۱۲۳	%۴۵
۰/۰۵ M	-۰/۵۵۵	۰/۰۴۱۱	%۸۱
۰/۱ M	-۰/۵۴۳	۰/۰۱۳۴	%۹۴
۰/۲۵ M	-۰/۵۳۱	۰/۰۰۲۶۴	%۹۹

می‌دهد. بهبود مقاومت به خوردگی پوشش آندایز در اثر افزودن پرمنگنات پتاسیم به محلول آندایز را می‌توان به دلایلی از قبیل تغییر در ترکیب و افزایش مقدار منگنز در پوشش، تغییر در ضخامت پوشش و همچنین تغییر در مورفلوژی پوشش‌های آندایز نسبت داد. مقدار بالاتر منگنز در پوشش به عنوان یک اکسید کننده قوی، می‌تواند منجر به بهبود مقاومت به خوردگی پوشش شود، چرا که آنیون‌های پرمنگنات، ورود آنیون‌های مهاجم کلر به لایه محافظ را کاهش داده و به این ترتیب مقاومت به خوردگی آن را افزایش می‌دهد [۱۷].

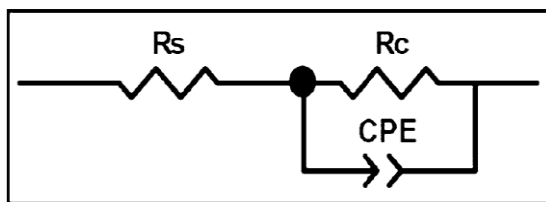
آنالیز نتایج آزمون‌های EIS پوشش‌های آندایز مختلف نتایج منحنی‌های پلاریزاسیون را تأیید می‌کند و نشان دهنده بهبود عملکرد خوردگی پوشش‌های آندایز در حضور پرمنگنات پتاسیم است. حضور 0.05 M مولار پرمنگنات پتاسیم میزان مقاومت الکتریکی پوشش (R_C) را از Ωcm^2 ۴۲۰۰ به Ωcm^2 ۱۱۰۵۰ افزایش داده (حدود ۶۲٪ بهبود) و با افزودن مقدار 0.25 M مولار پرمنگنات پتاسیم به محلول اسید سولفوریک در حین فرآیند آندایز کردن مقدار مقاومت الکتریکی پوشش را تا Ωcm^2 ۱۵۳۶۰ (۹۷٪ بهبود) افزایش



شکل ۵- منحنی‌های نایکوئست پوشش‌های آندایز ایجاد شده در غلظت‌های مختلف پرمنگنات پتاسیم.



شکل ۶. منحنی‌های بد پوشش‌های آندایز ایجاد شده در غلظت‌های مختلف پرمنگنات پتاسیم.



شکل ۷. طرح واژه ای از مدار الکتریکی معادل مورد استفاده در مدل کردن نتایج EIS [۱۹]

علاوه بر این، تغییر در ضخامت لایه مانع پوشش که می‌تواند با ظرفیت الکتریکی لایه محافظت تخمین زده شود، می‌تواند دلیل دیگری بر بهبود رفتار خوردگی پوشش‌های آندایز در حضور پرمنگنات پتابسیم است [۱۶]. ظرفیت الکتریکی لایه محافظت (CPE-T) تابعی است از ثابت دی الکتریک خلاء (ϵ_0)، ثابت دی الکتریک اکسید آلومینیوم (۴)، سطح الکترود (S) و ضخامت لایه مانع (e_b)، که این تابعیت به شکل زیر است [۱۶]:

$$e_b = \frac{\epsilon_0 \cdot \epsilon \cdot S}{CPE - T}$$

بنابراین کاهش میزان CPE-T با افزایش غلظت پرمنگنات می‌تواند به دلیل افزایش e_b و یا کاهش عباشد که هر دو نشان دهنده افزایش مقاومت به خوردگی پوشش آندایز هستند [۱۶]. همانگونه که مقایسه مورفولوژی پوشش‌های آندایز ایجاد شده در غلظت‌های مختلف پرمنگنات پتابسیم (شکل ۱) نشان داده است، افزودن پرمنگنات پتابسیم به الکترولیت فرآیند آندایز موجب کوچک شدن قطر حفرات موجود در پوشش شده و فشردگی پوشش را افزایش می‌دهد. این تغییر منجر به افزایش راندمان عملیات آب بندی شده و تراکم حاصله پس از عملیات آب بندی را افزایش می‌دهد. در نتیجه، پوشش‌های ایجاد شده در غلظت‌های بالاتر پرمنگنات پتابسیم، امکان ضعیف تری را برای نفوذ یون مهاجم کلر و دیگر عوامل خورنده فراهم کرده و مقاومت به خوردگی پوشش را به شکل چشم گیری افزایش می‌دهد.

جدول ۲- پارامترهای خوردگی بدست آمده از منحنی‌های EIS برای پوشش‌های آندایز ایجاد شده در غلظت‌های مختلف پرمنگنات پتابسیم.

KMnO ₄ Concentration	R _C (Kohm cm ²)	CPE-T (μF cm ⁻²)	CPE-P (n)	Standard errors (%)
۰ M	۴/۲	۵۱/۷	۰/۶۸	۵/۵
۰/۰۱ M	۵/۶۱	۳۲/۴	۰/۶۶	۴/۳
۰/۰۰ M	۱۱/۰۰	۱۸/۱	۰/۷۳	۶
۰/۱ M	۲۶/۸۹	۹/۶	۰/۶۳	۴/۸
۰/۲۰ M	۱۵۳/۶	۲/۹	۰/۷۹	۶

منابع

- C. Vargel, M. Jacques, M.P. Schmidt, Corrosion of Aluminium, Elsevier Ltd (2004).
- W. Pinc, S. Geng, M. O'Keefe, W. Fahrenholtz, T. O'Keefe, *Effects of acid and alkaline based surface preparations on spray deposited cerium based conversion coatings on Al 2024-T3*, Applied Surface Science, 255(2009)4061–4065.
- D. Zhu, W. J. V. Ooij, *Corrosion protection of AA 2024-T3 by bis-[3-(triethoxysilyl) propyl] tetrasulfide in neutral sodiumchloride solution. Part 1: corrosion of AA 2024-T3*, Corrosion Science, 45(2003)2163–2175.
- P. E. Hintze, L. M. Calle, *Electrochemical properties and corrosion protection of organosilane self-assembled monolayers on aluminum 2024-T3*, Electrochimica Acta, 51(2006)1761–1766.
- X. Yu, C. Cao, *Electrochemical study of the corrosion behavior of Ce sealing of anodized 2024 aluminum alloy*, Thin Solid Films, 423(2003)252–256.
- R. L. Twite, G. P. Bierwagen, *Review of alternatives to chromate for corrosion protection of aluminum aerospace alloys*, Progress in Organic Coatings, 33(1998)91–100.
- A. S. Akhtar, K. C. Wong, K. A. R. Mitchell, *The effect of pH and role of Ni²⁺ in zinc phosphating of 2024-Al alloy Part I: Macroscopic studies with XPS and SEM*, Applied Surface Science, 253(2006)493–501.
- X. Li, X. Nie, L. Wang, D.O. Northwood, *Corrosion protection properties of anodic oxide coatings on an Al-Si alloy*, Surface and Coatings Technology, 200(2005)1994–2000.
- Y. Liu, D. Sun, H. You, J. Shik Chung, *Corrosion resistance properties of organic–inorganic hybrid coatings on 2024 aluminum alloy*, Applied Surface Science, 246(2005)82–89.
- J. Sinko, *Challenges of chromate inhibitor pigments replacement in organic coatings*, Progress in Organic Coatings, 42(2001)267–282.
- D. Battocchi, A. M. Simoes, D. E. Tallman, G.P. Bierwagen, *Electrochemical behaviour of a Mg-rich primer in the protection of Al alloys*, Corrosion Science, 48(2006)1292–1306.
- O. Zubillaga, F. J. Cano, I. Azkarate, I. S. Molchan, G.E. Thompson, A.M. Cabral, P.J. Morais, *Corrosion performance of anodic films containing polyaniline and TiO₂ nanoparticles on AA3105 aluminium alloy*, Surface and Coatings Technology, 202(2008)5936–5942.
- M. G. Rubio, P. Ocón, A. C. Font, R. W. Smith, M. Curioni, G. E. Thompson, P. Skeldon, A. Lavía, I. García, *Influence of molybdate species on the tartaric acid/sulphuric acid anodic films grown on AA2024 T3 aerospace alloy*, Corrosion Science, 51(2009)2034–2042.
- V. Moutarlier, M. P. Gigandet, B. Normand, J. Pagetti, *EIS characterisation of anodic films formed on 2024 aluminium alloy, in sulphuric acid containing molybdate or permanganate species*, Corrosion Science, 47(2005)937–951.
- V. Moutarlier, S. Pelletier, F. Lallemand, M. P. Gigandet, Z. Mekhalif, *Characterisation of the anodic layers formed on 2024 aluminium alloy, in tetraborate electrolyte containing molybdate ions*, Applied Surface Science, 252(2005)1739–1746.
- V. Moutarlier, M. P. Gigandet, J. Pagetti, L. Ricq, *Molybdate/sulfuric acid anodising of 2024-aluminium alloy: influence of inhibitor concentration on film growth and on corrosion resistance*, Surface and Coatings Technology, 173(2003)87–95.
- V. Moutarlier, M. P. Gigandet, L. Ricq, J. Pagetti, *Electrochemical characterisation of anodic oxidation films formed in presence of corrosion inhibitors*, Applied Surface Science, 183(2001)1–9.
- K. J. Lewis, J. Aklian, *Non-chromate corrosion inhibitors for aluminum alloys*, United States Patent 5951747.
- R. Baboian, Corrosion test and standards, Copyright@2005 ASTM International, Printed in Balmore, MD.